

ホティアオイのメタン醸酵における基質分解特性

広島大学工学部 正寺西 靖治
広島大草工学部 正今岡 穆
広島大学工学部 宮田中 良雄

1 はじめに 近年、湖沼・貯水池および内湾などの閉鎖性水域では、生活排水など人間の活動に伴う汚泥水の流入により富栄養化が促進され大きな社会問題となっている。本研究では、水質浄化システムにホティアオイを用いた場合に得られるホティアオイの処分および利用法としてメタン醸酵に着目し、連続式メタン醸酵実験により検討を行う。また、ホティアオイ中に多量に含まれる難分解性有機物であるセルロースについてペプトンの添加効果について検討を加える。

2 実験装置および実験方法 実験装置の概略図を図1に示す。消化槽としては、容器側面に試料の投入および採取が可能な2つのアームを有しており、マクオティックスターラーによって攪拌の行えるガラス容器を用いた。アームの一端には、スラッジ化したホティアオイが入れ可能なようパイプを汚泥面下に入れる。他方には発生ガスを捕集瓶へ導くガラス管を接続した。消化槽は恒温器に設置し、醸酵温度を37℃に保ち、中温醸酵にて実験を実施した。実験に用いた汚泥は1年間回分式実験によって馴致し、実験前1ヶ月間本実験と同じ条件で予備実験を行った。消化槽の有効汚泥量は900mlであり、滞留日数を15日とした。投入試料であるホティアオイは粘度が高いため、1日の所定の時刻に60mlの汚泥の回収を行い、60mlのホティアオイを投入した。実験は2連にて行い、最初の15日はそれを同じスラッジ化したホティアオイを投入し、Run 1・2とした。Run 1・2に継続してRun 2の消化槽には5000mgのペプトンを投入試料に添加したものを用いて投入を継ぎ、これをRun 4とした。Run 1で用いた消化槽には無添加の試料を投入しRun 3とした。

3 実験結果および考察 表1に連続式実験(Run 1・2)と回分式実験における実験結果を示す。回分式メタン醸酵実験は消化日数20日で、直

表1 連続式と回分式の実験結果

	T S 分解率(%)	V T S 分解率(%)	C O D c r 分解率(%)	投入T S当り ガス発生量(mg)	投入V T S当り ガス発生量(mg)	減少V T S当り ガス発生量(mg)
Run 1・2	40.3	52.4	49.0	97.2	124.5	223.6
回分式	39.6	53.2	49.1	77.0	94.1	198.1

分解率を得た。投入T S V T S当りガス発生量 減少V T S当りガス発生量は連続式の実験結果が高値を示した。連続式メタン醸酵では、実験期間中 連続攪拌を行ったことも一つの要因と考えられるが、連続式においても回分式と同程度の実験結果が得られるこことを示している。次にRun 3・4の実験結果を表2に示す。T S V T Sの分解率はRun 4のほうが高い値を示した。セルロースの分析結果を図2に示すように Run 4のほうが高い

表2 Run 3およびRun 4の実験結果

	T S 分解率(%)	V T S 分解率(%)	V F A (mg/l)	C O D c r 分解率(%)	セルロース 分解率(%)	投入T S当り ガス発生量(mg)	投入V T S当り ガス発生量(mg)	減少V T S当り ガス発生量(mg)
Run 3	45.1	53.7	116.7	65.4	68.0	85.1	99.6	195.7
Run 4	46.5	55.8	148.9	69.2	72.7	106.5	134.2	230.0

分解率を示した。また、図3はVFAの分析結果を示したものであるが、VFAの値は全般的にRun 4が高く、平均2.8%高い値を示した。ガス発生量につれてRun 4の発生量が多い結果を得た。これらはペプトン添加によ

1) 有機物の加水分解過程 酸酵過程が促進され、酢酸・アロビオン酸などの低級脂肪酸が多く生成され 低級脂肪酸は、メタン菌によって分解・ガス化されたためと考えられる。ここで、消化槽内の物質収支の模式図を図4に示す。本実験を完全混合および連続培養と考えれば 物質収支式は以下のように表められる。

$$V\left(\frac{dC_s}{dt}\right) = Q_{in} C_{si} - Q_{out} C_{so} - V\left(-\frac{dC_s}{dt}\right)_c \quad (1)$$

$$V\left(\frac{dC_t}{dt}\right) = Q_{in} C_{ti} - Q_{out} C_{to} - V\left(-\frac{dC_t}{dt}\right)_c + \alpha V\left(-\frac{dC_s}{dt}\right)_c \quad (2)$$

$$V\left(\frac{dA_t}{dt}\right) = Q_{in} A_{ti} - Q_{out} A_{to} - V\left(-\frac{dA_t}{dt}\right)_c + \beta V\left(-\frac{dC_t}{dt}\right)_c \quad (3)$$

$$V\left(\frac{dG}{dt}\right) = \gamma V\left(-\frac{dA_t}{dt}\right)_c \quad (4)$$

ここで $\left(\frac{dC_s}{dt}\right)_c, \left(-\frac{dC_s}{dt}\right)_c$: 難分解性有機物の変化速度および分解速度

$\left(\frac{dC_t}{dt}\right)_c$: 可溶性有機物の変化速度および分解速度

$\left(\frac{dA_t}{dt}\right)_c$: 有機酸の変化速度および分解速度

$\left(\frac{dG}{dt}\right)$: ガス発生速度

α : 難分解性有機物の可溶性有機物への変換係数

β : 可溶性有機物の有機酸への変換係数

γ : 有機酸から発生ガスへの変換係数

また消化槽内を定常と考えれば $V\left(\frac{dC_s}{dt}\right), V\left(\frac{dC_t}{dt}\right), V\left(\frac{dA_t}{dt}\right)$ は 0 と考え

され $Q_{in} = Q_{out} = Q$ であるから(1)～(3)式より

$$V\left(-\frac{dC_s}{dt}\right)_c = Q(C_{si} - C_{so})$$

$$V\left(-\frac{dC_t}{dt}\right)_c = Q(C_{ti} - C_{to}) + \alpha V\left(-\frac{dC_s}{dt}\right)_c$$

$$V\left(-\frac{dA_t}{dt}\right)_c = Q(A_{ti} - A_{to}) + \beta V\left(-\frac{dC_t}{dt}\right)_c$$

メタンがすべて酢酸から生成されると考えると $\gamma = 74.6 \text{ mg/g}$ となる。難分解

性有機物をセルロースで表めし 分子式を $(C_6H_{10}O_5)_{2000}$ とし可溶性有機物をグルコースと考えれば その変換係数は 0.741 となる。このみどりを定常状態におけるそれの物質量から $B, V\left(-\frac{dC_s}{dt}\right)_c, V\left(-\frac{dC_t}{dt}\right)_c, V\left(-\frac{dA_t}{dt}\right)_c$ を求めた結果を表3に示す。各分解速度はペプトン添加を行った Run 4 が大きく 難分解性有機物・可溶性有機物・有機酸の分解速度およびガス発生速度の速さがわかる。またグルコースから酢酸が生成されると考えると $\gamma = 0.722$ となる。表4は、この値を用いた場合に得られる $\alpha, V\left(-\frac{dC_t}{dt}\right)_c$ を示したものである。ここでみは Run 1 ～ 4 までほぼ同じ値を示しているが 可溶性有機物の有機酸への分解速度 $V\left(-\frac{dA_t}{dt}\right)_c$ は Run 4 が他の消化槽に比べ高い値を示す。Run 4 におけるペプトンの添加は難分解性有機物から分解生成された可溶性有機物の分解速度も高める効果を示すと考えられる。

4 不わりに 本ティアオイのメタン酵酛に関する連続式発酵では、回分式と同程度の値を得た。また、ペプトンの添加は 難分解性有機物の分解速度を速めるだけではなく、可溶性有機物・有機酸の分解速度・ガス発生速度も高める効果を示す。

参考文献

- 1) 土木学会編 第37回年次学術講演会講演概要集第2部 環境性消化プロセスにおけるセルロースの分解に及ぼすペプトン添加の影響 矢口 野池 松平
- 2) 岩井重久・中丘激・名取真 改訂 下水汚泥の処理 コロナ社

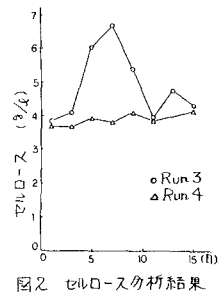


図2 セルロース分析結果

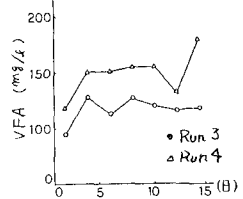


図3 VFA分析結果

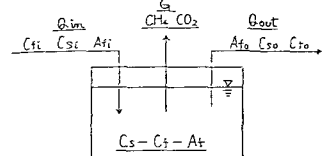


图4 消化槽内模式図
 Q_{in} : 投入量, Q_{out} : 回収量
 C_t : 可溶性有機物
 C_s : 難分解性有機物
 A_t : 有機酸 G : 発生ガス

表3 B と各分解速度

	B	$V\left(-\frac{dC_s}{dt}\right)_c$	$V\left(-\frac{dC_t}{dt}\right)_c$	$V\left(-\frac{dA_t}{dt}\right)_c$
Run 1	0.357	0.591	0.428	0.189
Run 2	0.358	0.638	0.455	0.199
Run 3	0.298	0.619	0.521	0.196
Run 4	0.365	0.679	0.549	0.239

表4 α および可溶性有機物の分解速度

	Run 1	Run 2	Run 3	Run 4
α	0.373	0.382	0.247	0.341
$V\left(-\frac{dC_t}{dt}\right)_c$	0.211	0.226	0.215	0.277